

京都大学防災研究所 正員 今本 博健

乱流状態の流れにおける速度は時間的・空間的に変動しており、この現象の取扱いにおいては、時間的特性とともに空間的特性の解明が必要とされる。従来においては、これらの両特性を結びつける関係として、Taylor¹⁾の準結乱流の仮定、すなわち、乱れ速度が平均速度に比し十分小さい場合、流下に伴う乱れの様相の変形は無視されるとする仮定が広く用いられてきているが、Lin²⁾らの研究より明らかのように、開水路流れのようなせん断流れにこの仮定をそのまま適用することには多くの問題が残されている。本研究は、開水路流れにおける乱れの時空間構造の解明を目的として、主として、流下に伴う乱れの変形特性を明らかにしようとするものである。

1. 周波数・波数スペクトルの関係

乱れの時間的特性と空間的特性との関係は、通常、流体内の1点において時間的に七だけ離れた乱れ速度間の相関を表わす自己相関関数あるいはEuler相関関数 $R(t)$ と、同時にあけて流れ方向に x だけ離れた2点の乱れ速度間の相関を表わす空間相関関数あるいはTaylor-Kármán相関関数 $R(x)$ との関係によって検討されているが、周波数あるいは波数ごとの両特性間の関係を知るには、 $R(t)$ および $R(x)$ のそれぞれに対応する周波数スペクトル $S(f)$ および波数スペクトル $S(k)$ との関係についての検討が必要である。

いま、周波数を f (cycle/sec)、波数を k (rad/cm) とする x 、 $S(f)$ および $S(k)$ は、それぞれ、

$$S(f) = 4 \int_0^\infty R(t) \cos 2\pi f t dt, \quad S(k) = \frac{2}{\pi} \int_0^\infty R(x) \cos kx dx \quad (1)$$

と表わされ、両者の間に

$$S(f) df = S(k) dk \quad (2)$$

の関係が成立するから、 $S(f)$ 、 $S(k)$ および df/dk あるいは $dk=df$ のうちいずれか2量より残りの量は(2)により決定される。一方、移流速度 U_c は周波数と波数との比によつて定義され、

$$U_c = 2\pi f/k \quad (3)$$

であるから、 U_c が既知の場合、 $S(f)$ 、 $S(k)$ の一方より他方が知れる。また、 $S(f)$ 、 $S(k)$ の両者が既知の場合にはそれが容易に決定される。したがつて、 $S(f)$ 、 $S(k)$ および U_c が、それぞれ、

$$S(f) \sim f^a, \quad S(k) \sim k^b, \quad U_c(f) \sim f^a \quad (a \neq 1) \text{ or } U_c(k) \sim k^b \quad (b \neq -1), \quad a, b, \text{ or } b: \text{const.} \quad (4)$$

と表わされる場合、(4)に用いられた定数間に次の関係式が成立する。

$$\alpha = (b-a)/(b+1) \quad \text{or} \quad \beta = (b-a)/(a+1) \quad (5)$$

準結乱流の場合、流れの平均速度を U とすると、 $t = x/U$ のとき $R(t) = R(x)$ であるから、(1)より

$$S(f) = \frac{\pi}{U} S(k), \quad f = \frac{U}{2\pi} k \quad (6)$$

が得られ、 $a=b$ 、 $\alpha=\beta=0$ となる。すなわち、 $S(f)$ と $S(k)$ との間に1次的な変換関係が成立するとともに、移流速度は周波数あるいは波数に關係なく一定で平均速度に一致することが知れる。また、非準結乱流の場合のスペクトルとして、小倉³⁾によつて導かれた乱れ速度が平均速度に比し十分大きい場合のスペクトル、すなわち、

$$S(f) \sim f^{-2}, \quad S(k) \sim k^{-5/3} \quad (7)$$

を用ひると、(5)より $\alpha = -1/2$ or $\beta = -1/3$ が得られ、 $U_c(f) \sim f^{-1/2}$ or $U_c(f) \sim k^{-1/3}$ となり、移流速度は周波数あるいは波数によつて変化し、スケールの大きな乱れ成分ほど移流速度は大きいことを示してゐる。

なお、日野は以上とほぼ同様の手法により歴れんのスペクトルについて次の平衡則を得てゐる。すなわち、波数スペクトルについて次元解析的に $S(k) \sim k^3$ を導くとともに、移流速度として $U_c(k) \sim k^1$ を用ひ、低周波数領域における周波数スペクトル $S(f) \sim f^{-2}$ を得てゐる。ただし、移流速度として芦田の実験結果である $U_c(k) \sim k^{-1/2}$ を用ひると $S(f) \sim f^{-7/3}$ となる。

以上の一例より明らかのように、 $S(f)$ と $S(k)$ との関係は U_c を仲介にすると簡単に得られるが、乱流の場合、先に述べた(7)は極端な場合であると、実際にはスペクトルの厳密な特性が知られてゐる場合を除き、上記の手法の適用は困難である。したがつて、実際の乱れの時空間構造を実験的に解明するには、次の解析によるのが有効である。

2. 乱れの時空間構造の解析

乱れの時空間構造を知る一般的的手法には、相関解析およびスペクトル解析があり、乱れ計測技術の進展に伴つてかなり広く用いられるようになつてゐるが、要約すると次のようである。

2点 P, Q における流れ速度 U_p, U_q に関する時空間相関関数 $R_{pq}(t)$ は次のようく定義される。

$$R_{pq}(t) = \overline{U_p(t_0) U_q(t_0 + t)} \quad (8)$$

相互スペクトル $S_{pq}(f)$ は $R_{pq}(t)$ の Fourier 変換として表わされ

$$S_{pq}(f) = 2 \int_{-\infty}^{\infty} R_{pq}(t) e^{-2\pi f t} dt = P_{pq}(f) - i Q_{pq}(f) = \sqrt{S_{pp}(f) S_{qq}(f)} C_{pq}(f) e^{i\phi_{pq}(f)} \quad (9)$$

ここに、 $P_{pq}(f)$ は co-spectrum, $Q_{pq}(f)$ は quadrature-spectrum といわれ、

$$P_{pq}(f) = 2 \int_{-\infty}^{\infty} R_{pq}(t) \cos 2\pi f t dt, \quad Q_{pq}(f) = 2 \int_{-\infty}^{\infty} R_{pq}(t) \sin 2\pi f t dt \quad (10)$$

であり、 $C_{pq}(f)$ は周波数 f における相関を表す coherency, $\phi_{pq}(f)$ は位相差を意味し、

$$C_{pq}^2(f) = [P_{pq}^2(f) + Q_{pq}^2(f)] / S_{pp}(f) S_{qq}(f), \quad \phi_{pq}(f) = \tan^{-1} [Q_{pq}(f) / P_{pq}(f)] \quad (11)$$

と表わされる。

さて、 P, Q の 2 点が同一流れ方向軸上にあり、2 点間の距離を x とすると、凍結乱流の場合、

$$R_{pq}(t) = R_{pp}(t - \frac{x}{U}) \quad (12)$$

であるから、(12)を(10)に用ひると、 $P_{pq}(f)$ および $Q_{pq}(f)$ は次のようになる。

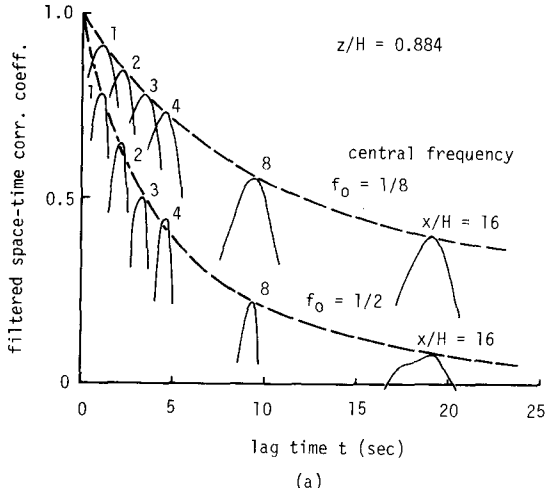
$$P_{pq}(f) = 4 \cos 2\pi f \frac{x}{U} \cdot \int_0^\infty R_{pp}(t) \cos 2\pi f t dt, \quad Q_{pq}(f) = 4 \sin 2\pi f \frac{x}{U} \cdot \int_0^\infty R_{pp} \cos 2\pi f t dt \quad (13)$$

したがつて、 $C_{pq}^2(f)$ および $\phi_{pq}(f)$ は

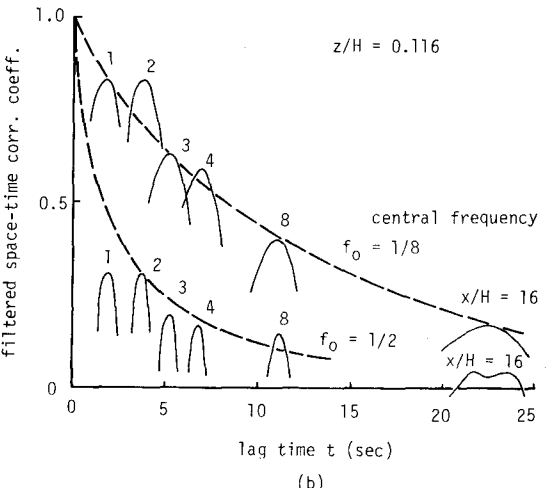
$$C_{pq}^2(f) = 1, \quad \phi_{pq}(f) = 2\pi f \frac{x}{U} \quad (14)$$

となり、coherency は 1 であることは手に肉眼で $x < 1$ となり、また、移流速度 $U_{pq}(f) = 2\pi f x / C_{pq}(f)$ は平均速度 U に等しいことがわかる。

非凍結乱流の時空間相関関数は凍結乱流の場合とかなり異なり、一般に、次のような特性を示す。すなわち、 $R_{pq}(t)$ はある遅れ時間において最大値をとり、その遅れ時間との差が大きいほど $R_{pq}(t)$ は小さくなる。ただし、このように時間差が大きくなる場合には必ずもし $R_{pq}(t)$ は減少するとは限らないが、一応、ここでは、 $R_{pq}(t)$ が最大となる遅れ時間と、その時間における $R_{pq}(t)$ を最大時空間相関値とすることにする。後述の時空間相関関数の実測値より明らかのように、最大遅れ時



(a)



(b)

Fig. 1 Space-time correlation coefficient for filtered turbulent velocity.

向は x の増加とともに増加するが、時空間相関係数の最大値は x の増加に伴って減少する。また、時空間相関係数の包絡線は平均流とともに流下する移動座標系から見た自己相関係数に相当し、流下に伴う乱れの変形過程を示している。以上の時空間相関係数の特性より容易に類推されるように、非準結乱流の coherency は x の増加により減少し、移流速度も平均速度に等しいとは限らない。

3. 実測値による検討

一般に、相関係数には長流場を構成するすべてのスケールの乱れが寄与しているため、周波数あるいは波数ごとの特性を抽出するにはスペクトル解析がより有効であるが、データ処理上の都合により、本研究においては、時間的移動平均法によりフィルター化された乱れ速度を相関解析することとした。すなわち、もとの乱れ速度を $u(t)$ 、その s および T 時間移動平均値をそれぞれ $u_s(t)$ および $u_T(t)$ とするとき、フィルター化乱れ速度 $u_f(t)$ は次のように表わされてる。

$$u_f(t) = u_s(t) - u_T(t) = \frac{1}{s} \int_{t-s/2}^{t+s/2} u(t') dt' - \frac{1}{T} \int_{t-T/2}^{t+T/2} u_T(t') dt' \quad (15)$$

$u(t)$ に関するスペクトルを $S(f)$ とするとき、 u_f^2 は

$$\overline{u_f^2} = \int_0^\infty \left[\frac{\sin \pi fs}{\pi fs} - \frac{\sin \pi fT}{\pi fT} \right]^2 S(f) df \quad (16)$$

となり、 $u_f(t)$ に関するスペクトルは $S(f)$ にフィルター化係数 $\left[\frac{\sin \pi fs}{\pi fs} - \frac{\sin \pi fT}{\pi fT} \right]^2$ が乗じられたものであることがわかる。

本研究においては、フィルター化乱れ速度の周波数領域として中央周波数 f_0 を基準に $\frac{1}{2}f_0$ から $\frac{3}{2}f_0$ の領域を対象とするため、 s および T は次のようを選ばれている。

$$s = \frac{2}{3f_0}, \quad T = \frac{2}{f_0} \quad (17)$$

また、 f_0 としては、 $1/8, 1/4, 1/2, 1/16, 1/32, 1/64$ の 7 種の周波数が用いられている。

Fig. 1 は、濃尾用水導水路（水路幅 18m、水深 86cm）において、アロベラ式発電型流速計を用いて計測された乱れ速度を A-D 変換器によることで数値化されたデータに前述の時間的移動平均法を適用して得られた時空間相関係数の一例として、自由表面近傍 ($z/H = 0.884$) および路床面近傍 ($z/H = 0.116$) における $f_0 = 1/8$ および $1/2$ Hz の場合について示したものであるが、これらの図より、時空間相関係数の最大値は距離の増加に伴って減少し、減少の割合は中央周波数が大きいものほど著しいことがわかる。この

ことはある一定距離を流下する間ににおける乱れの変形度は中央周波数が大きほど、すなわち、小さなスケールの成分ほど著しいことを示してある。また、最大値を除く時空間相関係数は、中央周波数が一定のもとにつけたては距離の大きさに關係なくきわめて類似しておるとともに、中央周波数が大きいものほど尖ってることがわかる。

フィルター化長れ速度に関する時空間相関係数の特性をより明確にするため、時空間相関係数の合縁線(Fig.1)における破線で示された曲線) $\rho(t)$ の積分ステークル J_m を指數形適合法により中央周波数ごとに求めるとき、Fig.2 のようになる。 J_m は、長れ速度が平均速度に比し十分小さくなる場合には Lagrange 相関係数に相当し、したがって、 J_m は乱れ度の寿命時間に相当するものであることがわかる。いま、乱流場を構成する種々の周期の乱れ成分がそれぞれの周期に対応する時間だけ流下する間の変形率は一定であると仮定すると、 J_m は $T_0 (=f_0)$ に比例することになり、中央周波数 f_0 につれての J_m は $f_0 T_0$ の函数として一般化される。さらに、 J_m における T_0 を流下距離と移流速度との比 L/U に置き換えると、 J_m は $50\%U_c$ の函数によつて一般化され、スペクトル解析における coherency は $50\%c$ となると予測される。

しかしながら、Fig.2 に示された J_m と T_0 の関係によると、 $J_m \sim T_0^n$ としたときの指数 n は 1 より若干小さく、非準結乱流の場合、ある周期の乱れ成分がその周期に相当する時間だけ流下する間の変形度は周期の大きさは大スケールのものほど著しいことがわかる。また、自由表面を除く路床面を除くと比較すると、後者につけてのものは前者のものに比してさらに小さく、路床面近傍における乱れの変形過程は非線型性に富むことが知れる。

本研究においては、開水路流れにおける乱れの時空間構造の特性について若干の考察をするとともに、フィルター化長れ速度を用いた相関解析による実験的検討を加えたが、フィルタ操作による時間的移動平均法は理想的なフィルター関数とはかなり異なり特性を失し、また、長れ評価値についても飛沫計設置による流れへの影響が無視されず、本研究の結果は定性的なものに留まることある。

参考文献

- 1) Taylor, G. I., Proc. Roy. Soc., A 164, 476~490, 1938.
- 2) Lin, C. C., Quart. Appl. Math., 10, No. 4, 295~306, 1953.
- 3) Ogura, Y., Jour. Meteor. Soc. Japan, 31, 355~369, 1953.
- 4) Hino, M., Jour. Fluid Mech., 34, 565~573, 1968.
- 5) 芦田・田中, 東大防災研究報, 10-B, 121~132, 1967.
- 6) 今本・上野, 東大防災研究報, 15, 1972 (印刷中).
- 7) Hinze, J. O., Turbulence, McGraw-Hill, 1959.